



طراحی تک‌هدفه و چند‌هدفه سیستم‌های کنترل بهینه با استفاده از برنامه‌ریزی ژنتیکی و مقایسه آن با حل تحلیلی معادله ریکاتی

عادل محمدی^۱، نادر نریمان زاده^{۲*}، علی جمالی^۲

^۱ دانشکده مهندسی مکانیک، پردیس دانشگاهی دانشگاه گیلان، رشت، ایران.

^۲ دانشکده مهندسی مکانیک، دانشگاه گیلان، رشت، ایران.

تاریخچه داوری:

دریافت: ۱۳۹۷/۱۲/۲۸

بازنگری: ۱۳۹۸/۰۳/۱۰

پذیرش: ۱۳۹۸/۰۶/۳۱

ارائه آنلاین: ۱۳۹۸/۰۷/۰۶

کلمات کلیدی:

کنترل بهینه

برنامه‌ریزی ژنتیکی

بهینه‌سازی چند‌هدفه

جهجهه پارتویی

شخص عملکرد خطی درجه دوم

خلاصه: بدست آوردن ساختار ریاضی سیگنال کنترلی که بتواند حالت‌های سیستم را از حالت ابتدایی به حالت نهایی مطلوب برساند یکی از مهم‌ترین مباحث در حوزه کنترل بهینه سیستم‌های مدرن می‌باشد. به طور معمول سیگنال کنترلی بهینه با حل یک شاخص تک‌هدفه که ترکیبی از تلاش کنترلی و شاخص‌هایی از حالت‌های سیستم با استفاده از ضرایب وزنی می‌باشد، با استفاده از روش‌های عددی مانند برنامه‌ریزی دینامیکی یا از روش‌های تحلیلی عددی مانند هامیلتون-جاکوبی-بلمن یا معادلات ریکاتی بدست می‌آید. از آنجایی که انتخاب ضرایب وزنی مناسب در روش‌های متدالو بهینه‌سازی مستلزم آزمون و خطا می‌باشد. در این مقاله با استفاده از برنامه‌ریزی ژنتیکی و بدون استفاده از هرگونه روش تحلیلی، ضرایب وزنی حذف و معیارهای بهینگی شامل تلاش کنترلی و خطا مسیر متغیر حالت جداسازی می‌شوند و درنتیجه مسائل بهینه‌سازی تک‌هدفه به چند‌هدفه ارتقا می‌یابند. درواقع با استفاده از برنامه‌ریزی ژنتیکی در این مقاله و با کمک پردازش موازی علاوه بر اینکه می‌توان به فرم تحلیلی حل معادلات ریکاتی در مسائل تک‌هدفه به عنوان سیگنال کنترلی بهینه دست یافته، در بهینه‌سازی چند‌هدفه امکان مصالحه توابع هدف با توجه به نمودارهای پارتو بدست آمده، توسط طراح امکان‌پذیر خواهد بود.

۱- مقدمه

کنترل بهینه به مسئله کنترل خطی درجه دوم^۱ وینر^۲ [۴ و ۵] به جنگ جهانی دوم بر می‌گردد. او برای کنترل شلیک تفنگ بر روی فیلتر میانگین مرربع کار کرد. وینر فیلترهایی طراحی کرد که توانست یک شاخص عملکرد به اسم شاخص مربعات خطأ را کمینه کند. در روش حساب تغییرات شرایط لازم بهینگی جهت حل مسائل کنترل بهینه منجر به یک مسئله مقدار مرزی می‌گردد. این مسئله که در حالت کلی غیرخطی و وابسته به مشتقات می‌باشد، موجب مشکلات زیادی در حل مسئله ایجاد می‌کند و حتی در مواردی موجب حل ناپذیری مسئله مذکور می‌شود. همانطور که دریفس در سال ۲۰۰۲ گزارش داد [۶]، محدود بودن روش حل حساب تغییرات به توابع مشتق پذیر پیوسته در حوزه هی زمان، عدم توانایی در حل مسائل کنترل بهینه توابع گسسته زمانی و مشکلات این روش در مواجه با مسائل نامعین احتمالاتی در حوزه هی زمان باعث شد که بلمن روش برنامه‌ریزی پویا را در سال ۱۹۴۹ ارائه دهد. از زمان ظهور این روش، ریاضی‌دانان و اقتصاددانان مسائل معین و نامعین احتمالاتی متنوعی در زمان محدود و

بهینه‌سازی یک مفهوم بنیادین است که بر اساس روش (ریاضی یا هندسی)، هدف (تک‌هدفه یا چند‌هدفه)، ماهیت سیگنال‌ها و مراحل آن‌ها (تک مرحله یا چند مرحله) معنی خاص خود را پیدا می‌کند و در حالت کلی، هدف اصلی در مسائل بهینه‌سازی پیدا کردن پارامترهای طراحی برای بهینه کردن (کمینه یا بیشینه کردن) یک یا چند تابع هدف می‌باشد.

در همین راستای برای کنترل مسائل بهینه، هدف پیدا کردن سیگنال کنترلی است که حالت‌های سیستم را از شرایط اولیه به شرایط نهایی مطلوب تغییر دهد. سیگنال‌های مختلفی وجود دارند که بتوانند این تغییر حالت را انجام دهنند، اما سیگنال‌های کنترلی محدودی هستند که می‌توانند این تغییر حالت را به بهترین نحو در راستای هدف مدنظر طراح انجام دهند. روش‌های متعددی برای پیدا کردن چنین سیگنال‌های کنترلی بهینه با عنوان حل مسائل بهینه‌سازی توسط محققین ارائه شده است [۱-۳]. اولین مسئله

1 Linear quadratic problem

2 Norbert Wiener

* نویسنده عهده‌دار مکاتبات: moaven@um.ac.ir

حقوق مؤلفین به نویسنده‌گان و حقوق ناشر به انتشارات دانشگاه امیرکبیر داده شده است. این مقاله تحت لیسانس آفرینندگی مردمی (Creative Commons License) در دسترس شما قرار گرفته است. برای جزئیات این لیسانس، از آدرس <https://www.creativecommons.org/licenses/by-nc/4.0/legalcode> دیدن فرمائید.



تصادفی جزء روش‌های غیرهوشمند محسوب می‌شوند که عدم کارایی آن‌ها در حل مسائل کنترل بهینه باعث شد تا محقق‌ها به دنبال روش‌های حل دیگری در حل مسائل کنترل بهینه باشند. بهینه‌سازی روش‌های مستقیم هوشمند که اکثر آن‌ها از فرآیندهای طبیعی الهام گرفته‌اند، توسط محققین در سال‌های اخیر ارائه شدند. کلمی مورچگان^{۱۱}، بهینه‌سازی تجمعی ذره^{۱۲}، سیستم ایمنی مصنوعی^{۱۳}، الگوریتم‌های تکامل تدریجی^{۱۴} از جمله این روش‌ها می‌باشند [۱۷].

سان و همکاران [۱۸] با استفاده از یک نسخه توسعه داده شده از الگوریتم تجمعی ذره به حل مسئله‌ای از کنترل بهینه پرداختند. آن‌ها نشان دادن با استفاده از الگوریتم پیشنهادی، دستیابی به ورودی کنترلی بهینه برای نگهداشتن یک ماهواره در مدار زمین بدون نیاز به محاسبات پیچیده معمول در کنترل بهینه و سریع‌تر از الگوریتم‌های تجمعی ذره پیشین امکان‌پذیر است. اما قوی‌ترین و معترض‌ترین کارهای بهینه‌سازی به الگوریتم ژنتیک (زیرمجموعه‌های از الگوریتم‌های تکامل تدریجی) تعلق دارد [۱۹]. سال‌ها بعد از ظهور الگوریتم ژنتیک و در راستای استفاده از مفاهیم آن، برنامه‌ریزی ژنتیکی توسط کوزا اختراع شد. از زمان ارائه این الگوریتم، برنامه‌ریزی ژنتیکی بارها توسط مخترع خود و دیگر محقق‌ها در مسائل بهینه‌سازی استفاده شده است [۲۰، ۲۱]. ماهر و محمد^{۱۵} [۲۲] در سال ۲۰۱۳ با استفاده از برنامه‌ریزی ژنتیکی به حل مسائل غیرخطی کنترل بهینه با شرایط مرزی ثابت پرداختند. در کار مذکور، کارایی برنامه‌ریزی ژنتیکی در حل شاخص‌های عملکرد تک‌هدفه غیرخطی مورد ارزیابی قرار گرفت و کارآمدی برنامه‌ریزی ژنتیکی را نسبت به روش عددی پارامتری کردن بردار کنترل^{۱۶} در پیدا کردن سیگنال کنترلی بهینه برای مسائل غیرخطی کنترل بهینه نشان داده شد. جمالی و همکارانش [۲۳] کارایی برنامه‌ریزی ژنتیکی در مدل‌سازی سیستم‌های غیرخطی پیچیده را نشان دادند. در همان سال و در کاری دیگر آن‌ها یک کنترل مقاوم چندهدفه با در نظر گرفتن نامعینی در داده‌های تجربی طراحی کردند [۲۴]. کیم و همکاران [۲۵] در سال ۲۰۱۶ به طراحی سیستم تبریدی بهینه به صورت چندهدفه پرداختند. آن‌ها در این کار شاخص‌های مختلف کیفی از یک سیستم تبریدی را با ضرایب مناسب که از روشنی به اسم روش سطح پاسخ^{۱۷} تعیین می‌شود، به شاخصی تک‌هدفه

نامحدود فرمول‌بندی و حل کرده‌اند. روش برنامه‌ریزی پویا یکی از روش‌های مهم در حل مسائل بهینه مهندسی، هواپیما، فناوری اطلاعات، اقتصاد، مالی و ... می‌باشد. در واقع این روش، جایگزین بهتری نسبت به روش حساب تغییرات در مسائل کنترل بهینه می‌باشد. بلمن [۷] در سال ۱۹۵۲ نظریه اصل بلمن از بنیادین ترین مفاهیم برنامه‌ریزی پویا را بیان کرد. او همچنین در سال ۱۹۵۷ مفاهیم مربوط به برنامه‌ریزی پویا برای مسائل نامعین احتمالاتی را بسط داد [۸]. مقالات و کتاب‌های زیادی از او در خصوص برنامه‌ریزی پویا و کاربردهایش در مسائل کنترل بهینه منتشر شده است. هم‌زمان با کارهای بلمن در سال ۱۹۵۶ بولتیانسکی^۱ و همکاران [۹] با ارائه اصل بیشینه^۲ در مرجع [۱۰] تأثیر مهمی در حل مسائل کنترل بهینه داشتند. نظریه‌های کنترل تنظیم‌کننده درجه دوم خطی و کنترل کننده گوسی درجه دوم خطی^۳ در طراحی کنترل‌های بازخوردی بهینه در سال ۱۹۶۰ اولین بار توسط کالمن^۴ [۱۱] ارائه شد. کالمن کارهای خود را با معرفی فیلتر بهینه و نظریه تخمین فیلتر کالمن گسترش [۱۲] و فیلتر کالمن پیوسته را با همکاری بوسی^۵ توسعه داد. حدود دو قرن بعد از معرفی معادله ریکاتی، این معادله به یکی از مهم‌ترین معادله‌های پرکاربرد در کنترل بهینه تبدیل شد. معادله ریکاتی در بسیاری از روش‌های کنترل بهینه استفاده شده است [۱۴]. شیائو^۶ و ونگ^۷ [۱۵] در سال ۱۹۹۹ با استفاده از موجک‌های هار^۸ و ادگام آن با معادلات ریکاتی به حل مسائل بهینه‌سازی تک‌هدفه سیستم متغیر با زمان پرداختند و حدود ۱۵ سال بعد، راده‌وش و همکاران [۱۶] با استفاده از ایده‌ای مشابه با ادگام موجک‌های چیبیشف^۹ و معادلات لاگرانژ به حل دقیق‌تری برای سیستم‌های متغیر با زمان دست یافتدند.

تقریب روابط بازگشتی با استفاده از مفاهیم مشتق توابع، بالا بودن زمان حلقه‌های الگوریتم و عدم دقت بالای جواب‌ها علاوه بر تک‌هدفه بودن در روش برنامه‌ریزی پویا و وابستگی به نقطه شروع و شرط مشتق‌پذیر بودن تابع هدف در روش حساب تغییرات از جمله مواردی هستند که سبب استفاده از الگوریتم‌های مستقیم در حل مسائل بهینه‌سازی شدند. جستجوی تصادفی^{۱۰} یکی از اولین و ابتدایی ترین این الگوریتم‌ها است [۱۷]. روش‌های جستجوی

-
- | | |
|----|---------------------------|
| 1 | Boltyanskii |
| 2 | Maximum principle |
| 3 | Linear quadratic Gaussian |
| 4 | Rodulf Emil Kalman |
| 5 | Richard Snowden Bucy |
| 6 | Chun-Hua Hsiao |
| 7 | Wang |
| 8 | Haar wavelets |
| 9 | Chebyshev wavelets |
| 10 | Random search |

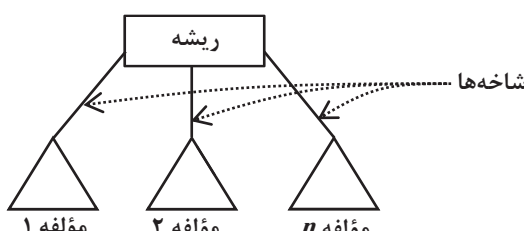
11 Ant system
12 Particle swarm optimization
13 Artificial immune system
14 Evolutionary algorithms
15 Mohamed
16 Control vector parameterization
17 Response surface methodology

بین توابع هدف مختلف بر روی جبهه‌های پارتویی فراهم می‌آید. در نهایت با استفاده از بهینه‌سازی چندهدفه و الگوریتمی که در دستیابی به جواب‌های تحلیلی محدودیت‌های روش‌های مرسوم کنترل بهینه ندارد، توسعه دیدگاه طراحی در تحلیل مسائل کنترل بهینه بررسی می‌شود.

۲- الگوریتم برنامه‌ریزی ژنتیکی پیشنهادشده

در برنامه‌سازی ژنتیکی هر واحد جمعیتی به عنوان یک کروموزوم به صورت یک راه حل، یک مدل ریاضی و یا یک برنامه کامپیوتروی به شیوه درختی بیان می‌شود [۲۷]. ساختار اصلی برنامه‌سازی ژنتیکی به گونه‌ای است که ابتدا یک مجموعه‌ای از جواب‌های اولیه به صورت روش تصادفی نصف-نصف^۱ با ترکیب تصادفی از عملگرهای تابع ریاضی، اعداد و متغیرهای طراحی به عنوان جمعیت اولیه ایجاد می‌شود. شیوه درختی برای نمایش هر مدل (واحد) در برنامه‌ریزی ژنتیکی استفاده می‌شود. متغیرها و مقادیر ثابت در هر واحد به صورت برگ‌های درخت می‌باشند که در برنامه‌سازی ژنتیکی به آن‌ها ترمینال^۲ گفته می‌شود. همچنین عملگرهای محاسباتی (+, *, max) که در ریشه و گره‌های داخلی واقع شده‌اند، توابع^۳ نامیده می‌شوند. ترکیب توابع و ترمینال‌های مؤثر به عنوان کروموزوم‌ها یا مؤلفه‌های هر واحد در برنامه‌سازی ژنتیکی مورد استفاده قرار می‌گیرند. در حالت پیچیده‌تر، واحدهای برنامه می‌توانند ترکیبی از چند مؤلفه باشند. در این حالت نمایش برنامه به صورت ترکیبی از چند درخت است که با یک نود ریشه‌ای گروه‌بندی شده‌اند، یا به عبارتی هر یک از مؤلفه‌ها به عنوان یک شاخه به ریشه متصل است. این ساختار را چند کروموزومی^۴ یا چند مؤلفه‌ای می‌گویند.

برازندگی هر واحد توسط مقدار عددی یک تابع برآzendگی^۵ مورد ارزیابی قرار می‌گیرد. در برنامه‌ریزی ژنتیکی همانند سایر الگوریتم‌های تکاملی، اپراتورها روی واحدهایی به کار می‌روند که بر اساس احتمال و بر مبنای



شکل ۱: نمایش ساختار قطعه برنامه چند مؤلفه‌ای

Fig 1. Multigen structure.

تبديل کردن و در نهایت به حل شاخص تک‌هدفه شده با استفاده از الگوریتم ژنتیک پرداختند. در همان سال سارداهی [۲۶] در پایان‌نامه دکتری خود از الگوریتم چندهدفه ژنتیک به نام نسخه دوم الگوریتم ژنتیک چندهدفه غیر برتر^۱ برای طراحی بهینه کنترل استفاده کرد. او در این کار پارامترهای بهینه غیربرتر در فضای پارتویی در مقابل هدف‌هایی از فضای زمانی و فرکانسی را به صورت چندهدفه بررسی کرد.

در کارهای پیشین انجام‌شده در حوزه کنترل بهینه، مسائل کنترل بهینه به صورت یک شاخص عملکرد تک‌هدفه که ترکیب وزنی از توابع هدف مختلف است، تعریف شده‌اند. کاهش دیدگاه طراح در تعیین ضرایب وزنی مناسب، محدود کردن مسائل کنترل بهینه به حل ریاضی شاخص‌های تک‌هدفه و ایجاد حساسیت شدید جواب نهایی به ضرایب تعیین‌شده از جمله مشکلات تحلیل‌های تک‌هدفه می‌باشد. در تحلیل‌های تک‌هدفه، نه تنها مسائل کنترل بهینه به حل پذیری بودن شاخص عملکرد محدود می‌شوند، بلکه زمان زیادی صرف تعیین ضرایب وزنی متناسب با نیازهای طراحی می‌شود. چنین ضرایب وزنی مناسبی تنها با تکرارهای فراوان و زمان برآزمون و خطا تعیین می‌شوند. در این مقاله، دیدگاه طراحی کنترل بهینه سیستم‌های مدرن با حذف ضرایب وزنی و ارتقا شاخص عملکرد تک‌هدفه به معیارهایی چندهدفه توسعه می‌یابد. در بهینه‌سازی چندهدفه، سیگنال کنترلی بهینه به دور از حساسیت بر انتخاب ضریب مناسب و متناسب با نیازهای طراحی از میان نقاط غیربرتر در جبهه‌های پارتویی انتخاب می‌شود.

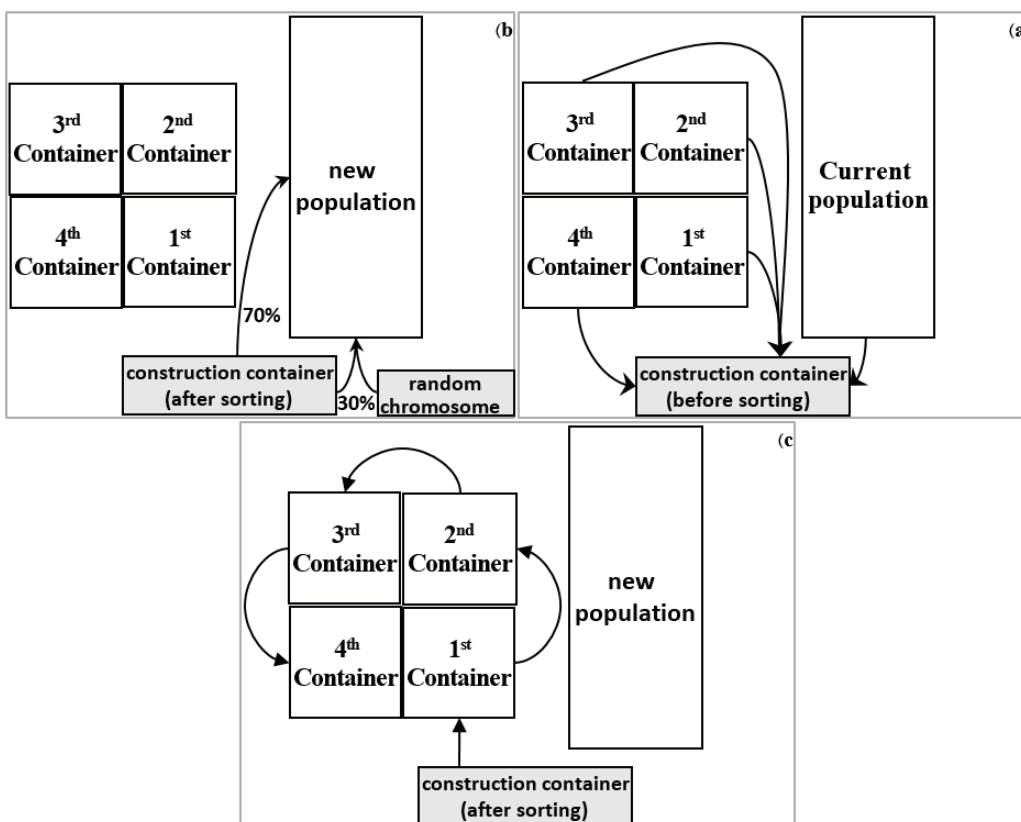
در راستای تحقق اهداف این مقاله، ابتدا الگوریتم برنامه‌ریزی ژنتیکی که کارایی آن در تاریخچه کارهای کنترل بهینه نشان داده شده است، به گونه‌ای توسعه داده می‌شود که سبب افزایش دقت و همگرایی جواب نهایی می‌شود. جهت بررسی کارایی الگوریتم پیشنهادی در این مقاله، جواب‌های تحلیلی تک‌هدفه بدست آمده از آن با جواب‌های معادلات ریکاتی مقایسه و صحت سنجی می‌شوند. جواب‌های تحلیلی حاصل از معادلات ریکاتی، حل دقیق برای معادلات تک‌هدفه صرفاً خطی محسوب می‌شود که در دستیابی به پاسخ‌های تحلیلی به‌غایر این حالت، ناکارآمد است. در ادامه با استفاده از الگوریتم مذکور، بهینه‌سازی چندهدفه که روش‌های معمول کنترل بهینه همچون معادلات ریکاتی در این نوع تحلیل‌ها بالاستفاده می‌باشند، مورد ارزیابی قرار می‌گیرد. نشان داده می‌شود که با استفاده از بهینه‌سازی چندهدفه، علاوه بر امکان دستیابی حل‌های تحلیلی مشابه به پاسخ‌های تک‌هدفه قبلی، پاسخ‌های بهینه دیگر در راستای نیاز طراحی با مصالحه

2 Ramped half and half

3 Terminal

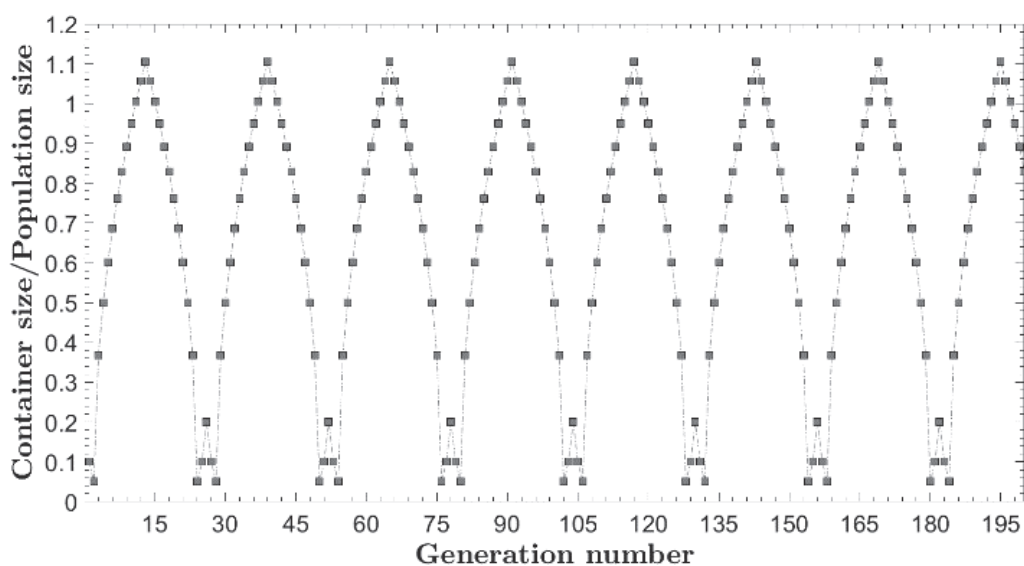
4 Functions

5 Multigene



شکل ۲: مراحل ارتقا نسل‌ها

Fig 2. Generation construction process



شکل ۳: نحوه تغییر اندازه مخزن ساخت در طول ارتقا نسل برای مسائل تک‌هدفه

Fig 3. Size variation of the single-objective repository through generation evolution

کروموزومی در طول ارتفا نسل از تغییر اندازه مخزن ساخت به صورت شکل ۳ استفاده می‌شود.

مسائل چنددهفه برخلاف مسائل تک‌هدفه که تمرکز جواب مدنظر بود، نیازمند وسعت دامنه در عرصه جواب‌ها می‌باشد که این امر موجب در نظر گرفتن افزایش دائمی مخزن‌های ساخت در روند ارتقا نسل‌ها می‌شود. افزایش اندازه‌ها باید به گونه‌ای باشد که همواره ژن‌های مناسب با کروموزوم‌های برتر در مخزن‌ها قرار بگیرد که به علت همگرایی ژن‌ها در نسل‌های ابتدایی و به مرور کند شدن روند تولید ژن‌های مطلوب، افزایش اندازه مخزن ساخت به صورت شکل ۴ پیشنهاد می‌شود. نمودار پارتویی نهایی که شامل نقاط غیر برتر می‌باشد، با ادغام تمام مخازن و جبهه‌بندی آن‌ها بدست می‌آید.

۳- بهینه‌سازی با الگوریتم برنامه‌ریزی ژنتیکی پیشنهادی

۳-۱ مدل‌سازی و شبیه‌سازی تک‌هدفه

سیگنال کنترلی بهینه به ضرایب وزنی انتخابی، حساسیت دارد. برای نشان دادن این حساسیت، مدل‌سازی و شبیه‌سازی کنترل مسیر یک فضای پیما با شاخص عملکرد به فرم خطی درجه دوم با ضرایب مختلف وزنی بررسی شده است [۲۸].

با در نظر گرفتن (t) ^θ به عنوان زاویه مسیر حرکت با سطح افق، معادلات حرکت فضای پیما مفروض به صورت رابطه (۱) بدست می‌آید:

$$I \frac{d^2}{dt^2} [\theta(t)] = \lambda(t) \quad (1)$$

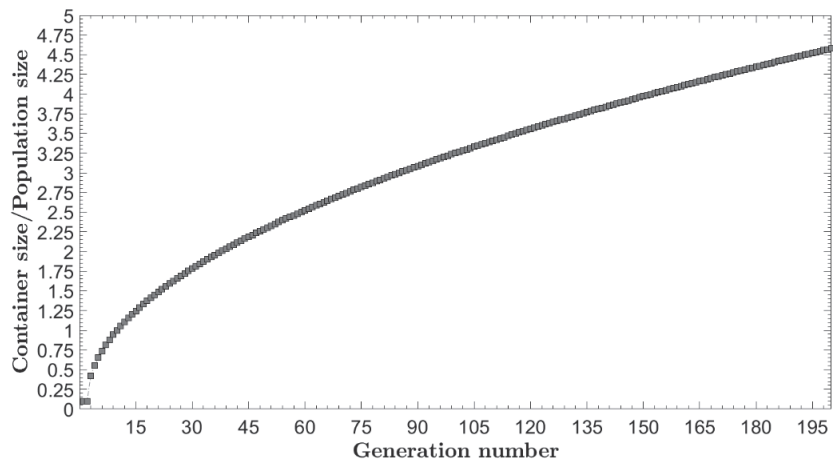
I و $\lambda(t)$ به ترتیب ممان اینرسی فضای پیما و پیچش تولیدی توسط گاز جت می‌باشد. با انتخاب $x_1(t) \triangleq \theta(t)$ و $x_2(t) \triangleq \dot{\theta}(t)$ به عنوان متغیرهای حالت و $u(t) \triangleq \frac{\lambda(t)}{I}$ به عنوان ورودی کنترلی، معادلات حالت رابطه (۲) می‌شود.

$$\begin{aligned} \dot{x}_1(t) &= x_2(t) \\ \dot{x}_2(t) &= u(t) \end{aligned} \quad (2)$$

هدف اصلی در این مسئله نگهداری زاویه مسیر در نزدیکی صفر می‌باشد که برآورد سازی این هدف موجب ایجاد شتاب در فضای پیما می‌شود. برای این مسئله شاخصی عملکردی به فرم خطی درجه دوم با ضرایب وزنی q_{11}, q_{12} و q_{22}

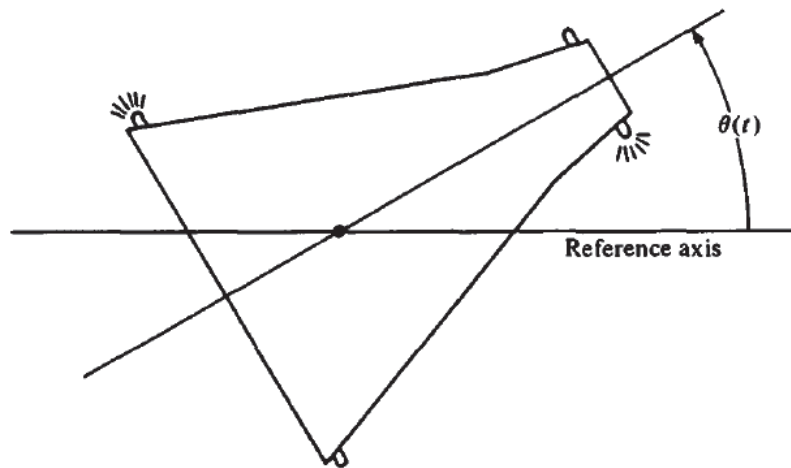
برازش انتخاب می‌شوند. به عبارت دیگر، واحدهای بهتر شناس بیشتری برای داشتن فرزند نسبت به واحدهای ضعیفتر دارند. متدالو ترین روش برای انتخاب واحدهای در برنامه‌ریزی ژنتیکی، انتخاب تورنمنت می‌باشد. در انتخاب تورنمنت، تعدادی از واحدهای به طور تصادفی از جمعیت انتخاب می‌شوند. این واحدهای با یکدیگر مقایسه شده و بهترین آن‌ها به عنوان واحد انتخاب می‌شوند. در زمان اجرای عملگر پیوند، دو والد لازم است و لذا تورنمنت دو دور اجرا می‌شود. درنهایت با استفاده از عملگرهای پیوند، جهش و انتقال مستقیم از واحدهایی که برآنده‌گی بهتری دارند، نسل جدیدی از مدل‌های ریاضی ساخته می‌شود. تکرار این روند در طی مراحل متعدد و با ارتقا نسل‌های متوالی باعث می‌شود تا جواب‌هایی با برآنده‌گی بالاتر و یا به عبارتی دیگر نسل‌های بهینه‌تر از دیدگاه تابع هدف تولید گردد.

در روش معمول برنامه‌ریزی ژنتیکی هر واحد برنامه یک کروموزوم تعريف می‌شود و نسل جدید تنها با استفاده از اطلاعات کروموزومی در نسل فعلی ساخته می‌شود و این در حالی است که امکان دارد از نسل‌های قدیم واحدی با اطلاعات زیر درختی برتر وجود داشته که بعد از گذر نسل‌ها به علت حذف واحد مذکور اطلاعات زیر مؤلفه‌ای آن نیز حذف شود. در این مقاله اطلاعات سازنده واحدهای برتر مورد توجه قرار می‌گیرد و هر زیردرخت را به عنوان یک کروموزوم و واحدهای برنامه که ترکیبی از کروموزوم‌ها می‌باشد، ژن تعريف می‌شود. با ایجاد یک حافظه که به صورت شماتیک در شکل ۲ نشان داده شده است، واحدهای برتر تمام نسل‌ها در مخزنی به اسم مخزن ساخت به گونه‌ای انباسته می‌شوند که واحدهای با توجه به برآنده‌گی شان مرتب و همچنین واحدهای یکسان جهت افزایش تنوع کروموزومی در تولید نسل جدید کارآمد حذف می‌شوند. سپس ۷۰٪ نسل جدید با پیوند کروموزوم‌های واحدهای موجود در مخزن ساخت و ۳۰٪ باقی‌مانده با تزریق کروموزوم‌های جدید به ساختار این واحدهای ساخته می‌شوند و در نهایت بعد از ساخت نسل جدید اطلاعات مخزن ساخت در مخازنی ذخیره می‌شوند. در واقع این گونه می‌توان بیان کرد که برای تولید نسل جدید برخلاف روش معمول که واحدهای برتر استفاده می‌شود، در روش پیشنهادی اطلاعات سازنده واحدهای برتر از نسل ابتدایی تا نسل کنونی مورد توجه قرار می‌گیرد. در بررسی‌های صورت گرفته برای همگرایی بهتر در مسائل کنترل بهینه تک‌هدفه توسط برنامه‌ریزی ژنتیکی پیشنهادی، جهت همگرایی سریع‌تر در بازه‌ای از ارتقا نسل‌ها تمرکز کروموزومی بر واحدهای برتر محدود و در بازه‌ای دیگر تنوع کروموزومی بر روی واحدهای برتر وسیع‌تر احساس می‌شود. بنابراین در این مقاله با ترکیب هر دو حالت تمرکز و تنوع



شکل ۴: نحوه تغییر اندازه مخزن ساخت در طول ارتقا نسل برای مسائل چندهدفه

Fig 4. Size variation of the multi-objective repository through generation evolution



شکل ۵: کنترل حرکت یک فضایپما [۲۸]

Fig5. Aircraft path control [28].

خطی با زمان) قانون کنترل بهینه^۱ به صورت خطی می‌باشد و به صورت رابطه

و R در نظر گرفته شده است.

(۴) بیان می‌شود [۸]

$$J = \int_0^{\infty} [q_{11}x_1^2(t) + q_{22}x_2^2(t) + Ru^2(t)] dt \quad (3)$$

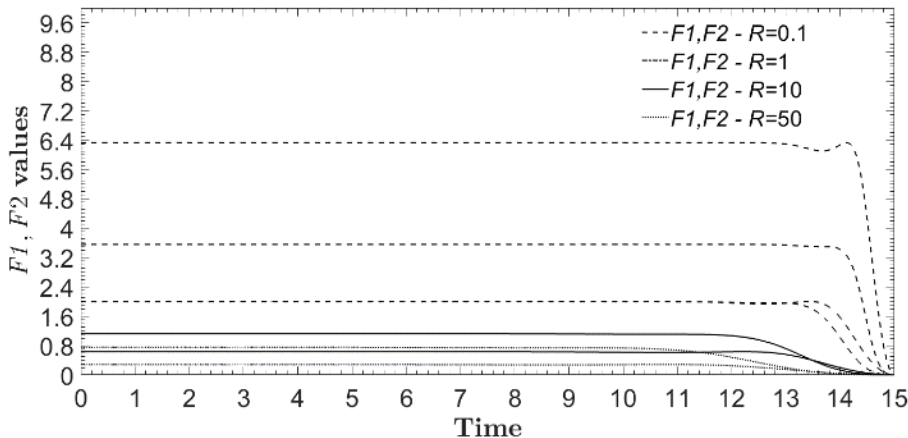
$$u^*(t) = -R^{-1}B^T K x(t) \triangleq -F \cdot x(t) \quad (4)$$

$$(q_{11}=4, q_{22}=0, R=0.1, 1, 10, 50)$$

ثابت می‌شود که ماتریس K در حالت کلی از حل یک معادله دیفرانسیلی

در سیستم‌های خطی ثابت با زمان، سیگنال کنترلی ورودی فیدبکی خطی ثابت با زمان از حالت‌های سیستم می‌باشد. در این شرایط (سیستم‌های

1 Optimal control law



شکل ۶: مقادیر ماتریس F در قانون کنترل بهینه برای کنترل خطی فضایپما

Fig 6. Gain matrix F in the control law for the aircraft problem.

مطابق معادله (۴) به صورت ضرایب ثابتی از حالت‌های سیستم می‌باشد که این مهم برای جواب‌های برنامه‌ریزی ژنتیکی پیشنهادی حداکثر تا نسل ۲۳ همانند شکل ۷ محقق شد. در حالی که با پیکربندی مشابه برای برنامه‌ریزی ژنتیکی معمول، نه تنها دست‌یابی به جواب‌ها به صورت شکل نهایی رابطه (۴) میسر نشد، بلکه در بهترین وضعیت جواب‌های برنامه‌ریزی ژنتیکی معمول تا نسل ۶۷ همگرایی مناسبی نداشتند.

که یک نوع از معادلات ریکاتی می‌باشد، بدست می‌آید. این ماتریس در حالت کلی وابسته به زمان بوده و ساختار آن به زمان نهایی بستگی دارد و در شرایط ثابت با زمان که زمان نهایی به بینهایت میل می‌کند ماتریس K به ماتریسی ثابت میل می‌کند که می‌توان آن را به زمان نهایی متناهی نیز تعیین داد [۱۲]. برای نمونه از حل معادله ریکاتی برای کنترل مسیر فضایپما و بدست آوردن ماتریس K و جایگذاری آن در رابطه (۴)، ماتریس F به صورت شکل ۶ بدست می‌آید.

همان‌گونه که در شکل ۶ مشاهده می‌شود، با چشم‌پوشی از جهش در نزدیکی به زمان‌های نهایی ۱۵ ثانیه، ماتریس F دارای مقادیر ثابتی می‌باشد و با جایگذاری در رابطه (۴) توابع سیگنال کنترلی به ازای هر R بدست می‌آید. در ادامه جهت صحت سنجی، معادله سیگنال کنترلی بدست آمده از بهینه‌سازی تک‌هدفه با استفاده از الگوریتم برنامه‌ریزی ژنتیکی ارائه شده در این مقاله با سیگنال‌های کنترلی بدست آمده از حل معادله ریکاتی، مقایسه می‌شوند (جدول ۱). برنامه‌ریزی ژنتیکی پیشنهادی با ترمینال‌های $F = \{X_1, X_2, constat\ value\}$ عملگرهای محاسباتی $\{-, +, \times\}$ پیکربندی و تا نسل ۲۰۰ اجرا می‌شود. نحوه همگرایی نسل‌های برنامه‌ریزی ژنتیکی برای این مسئله و با پیکربندی مذکور در شکل ۷ نشان داده شده است.

با توجه به جدول ۱ سیگنال‌های کنترلی بدست آمده از روش برنامه‌ریزی ژنتیکی با درصد خطایی کمتر از 0.03% به سیگنال کنترلی بدست آمده از حل معادلات ریکاتی، همگرا می‌شوند. جواب‌ها در مسائل خطی ثابت با زمان

۳-۲- مدل‌سازی و شبیه‌سازی چندهدفه

در کارهای بهینه‌سازی پیشین شاخص عملکرد به صورت تک‌هدفه و با ترکیب ضریب وزنی از سیگنال کنترلی و حالت‌های سیستم بررسی شده است. در این نوع مسائل، ضرایب وزنی مناسب عمدتاً با روش آزمون و خطا بدست می‌آید که این امر بهنوبه خود سبب کاهش دقت و دید طراح در تعیین درجه اولویت‌های توابع هدف (سیگنال کنترلی یا خط سیر حالت‌های سیستم^۱) می‌شود.

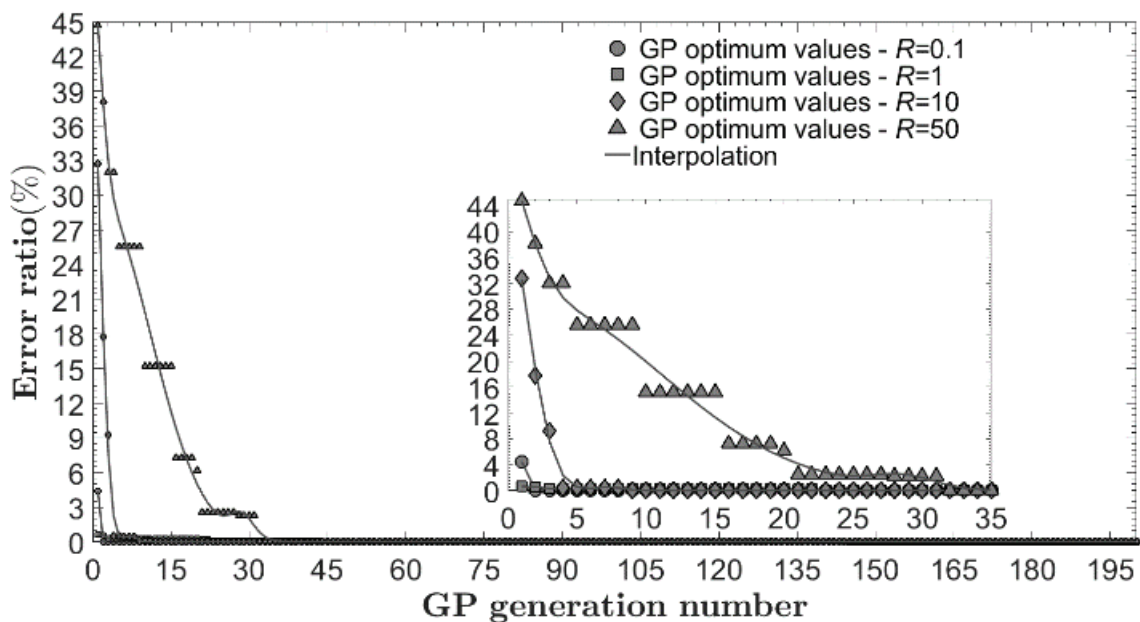
در این مقاله با حذف ضریب‌های وزنی و تبدیل شاخص عملکرد تک‌هدفه به شاخص‌هایی چندهدفه، شاخص‌ها به صورت مجزا و با استفاده از تحلیل‌های پارتویی بررسی می‌شوند. با این روش انتخاب نقاط مطلوب در بین نقاط غیربرتر و بدست آوردن سیگنال کنترلی با استفاده از برنامه‌ریزی ژنتیکی علاوه بر حذف حساسیت، افزایش دقت و کارایی طراحی کنترل بهینه سیستم‌های مدرن از منظر طراحی و تحلیل، امکان ترکیب آن با

¹ States' trajectory

Table 1. Comparison of the obtained optimal control signals between the suggested Genetic Programming (GP) and the Riccati equation.

جدول ۱: مقایسه سیگنال کنترلی بدست آمده از برنامه‌ریزی ژنتیکی و حل معادلات ریکاتی

$R=0.1$	$R=1$	$R=10$	$R=50$	
$U(x) = X_2 - 3/5566 X_1 - 6/3246$	$U(x) = -X_1 - X_2$	$U(x) = X_2 - 1/1246 X_1 - 0/6322$	$U(x) = X_2 - 0/7521 X_1 - 0/2828$	
$J_1 = 562.8978$	$J_1 = 100.8953$	$J_1 = 17.932$	$J_1 = 5.3715$	معادله
$J_2 = 42.1795$	$J_2 = 75.1282$	$J_2 = 13.8$	$J_2 = 1.99.71$	ریکاتی
$J = .1 J_1 + \frac{1}{2} J_2 = 225/0.079$	$J = .1 J_1 + \frac{1}{2} J_2 = 40.1/4.081$	$J = .1 J_1 + \frac{1}{2} J_2 = 413/6994$	$J = .1 J_1 + \frac{1}{2} J_2 = 1.67/4$	
$U(x) = X_2 - 3/5278 X_1 - 6/2756$	$U(x) = -X_1 - X_2$	$U(x) = X_2 - 1/1038 X_1 - 0/6222$	$U(x) = X_2 - 0/7690 X_1 - 0/2909$	
$J_1 = 558.7304$	$J_1 = 100.8953$	$J_1 = 17.6294$	$J_1 = 5.5581$	برنامه‌ریزی
$J_2 = 42.2843$	$J_2 = 75.1282$	$J_2 = 13.4.2022$	$J_2 = 1.97.4754$	ژنتیکی
$J = .1 J_1 + \frac{1}{2} J_2 = 225/0.104$	$J = .1 J_1 + \frac{1}{2} J_2 = 40.1/4.081$	$J = .1 J_1 + \frac{1}{2} J_2 = 713/7.28$	$J = .1 J_1 + \frac{1}{2} J_2 = 1.67/8$	
درصد خطأ	٪.٪.٪.٪	٪.٪.٪.٪	٪.٪.٪.٪	٪.٪.٪.٪



شکل ۷: خطای برازنده‌گی شاخص عملکرد سیگنال کنترلی بهینه بدست آمده از هر نسل برنامه‌ریزی ژنتیکی

Fig7. Fitness percentage error of the control signal obtained from each GP generation.

تحلیل چندهدفه در مسئله کنترل بهینه مذکور، نزدیک‌ترین نقطه بهینه

توابع هدف دلخواه طراح را فراهم می‌آورد. در ادامه با بررسی دو فرم ثابت با زمان و متغیر با زمان از شاخص چندهدفه این تحلیل مورد ارزیابی بیشتر قرار می‌گیرد.

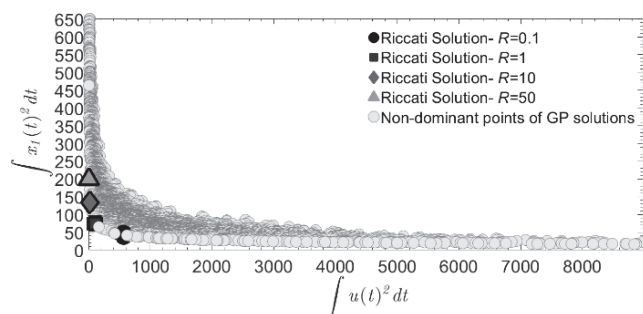
غیربرتر به نقطه سیگنال کنترلی بهینه تک‌هدفه با ضریب کنترلی $R=0/1$ انتخاب می‌شود. جهت ارزیابی بیشتر، پاسخ زمانی آن‌ها در شکل ۱۰ رسم و شاخص‌های آن‌ها در جدول ۲ مقایسه می‌شوند.

همانطوری که در جدول ۲ مشاهده می‌شود، برازنده‌گی توابع هدف J_1 و J_2 برای نزدیک‌ترین نقطه بهینه غیربرتر (واحد شماره ۱۴۵۴) از بین مجموع ۳۴۰۴ نقاط غیربرتر نسبت به جواب‌های بهینه‌سازی تک‌هدفه بهتر است. (بدون اینکه تابع هدف J_2 تغییر زیادی نماید)

بدیهی است که با استفاده از تحلیل چندهدفه انجام‌شده و بررسی منحنی‌های پارتویی J_1 و J_2 علاوه بر J_1 که در شکل ۹ نشان داده شده است، امکان انتخاب نقاط بهینه غیربرتر دیگری با توجه به نیاز طراحی، کاملاً وجود دارد.

۴- نتیجه‌گیری

در این مقاله از یک نوع الگوریتم برنامه‌ریزی ژنتیکی توسعه یافته بهمنظور تعیین ساختار تلاش کنترلی بهینه در طراحی سیستم‌های کنترل بهینه خطی استفاده شده است. با استفاده از این الگوریتم که محدودیت‌های روش‌های معمول کنترل بهینه در دستیابی به جواب‌های تحلیلی مسائل کنترل بهینه را ندارد، ساختار سیگنال کنترلی به صورت مستقیم توسط ساختار درختی برنامه‌ریزی ژنتیکی، تولید شده و در یک روند بهینه‌سازی چندهدفه به‌گونه‌ای تعیین می‌شود که شاخص‌ها بهینه شوند. توابع هدف در بهینه‌سازی چندهدفه شامل تلاش کنترلی و مسیر متغیرهای حالت می‌باشند.



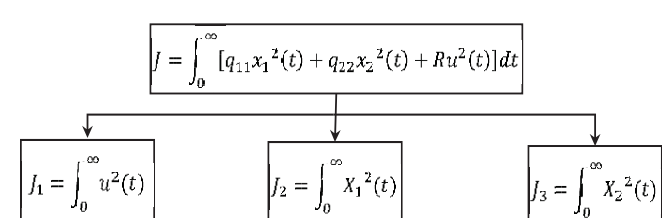
شکل ۹: نمودار پارتویی از توابع هدف J_1 و J_2

Fig 9. J1-J2 viewpoint of the Pareto front.

در این نوع از شاخص عملکرد، ضرایب Q و R ماتریس‌های ثابت بوده و با حذف این ماتریس‌ها همچون شکل ۸ مسئله شاخص عملکرد تک‌هدفه به شاخص‌های چندهدفه تبدیل می‌شود. جهت ارزیابی بیشتر سیستم خطی ثابت با زمان بخش ۱-۳ به صورت چندهدفه شبیه‌سازی می‌شود.

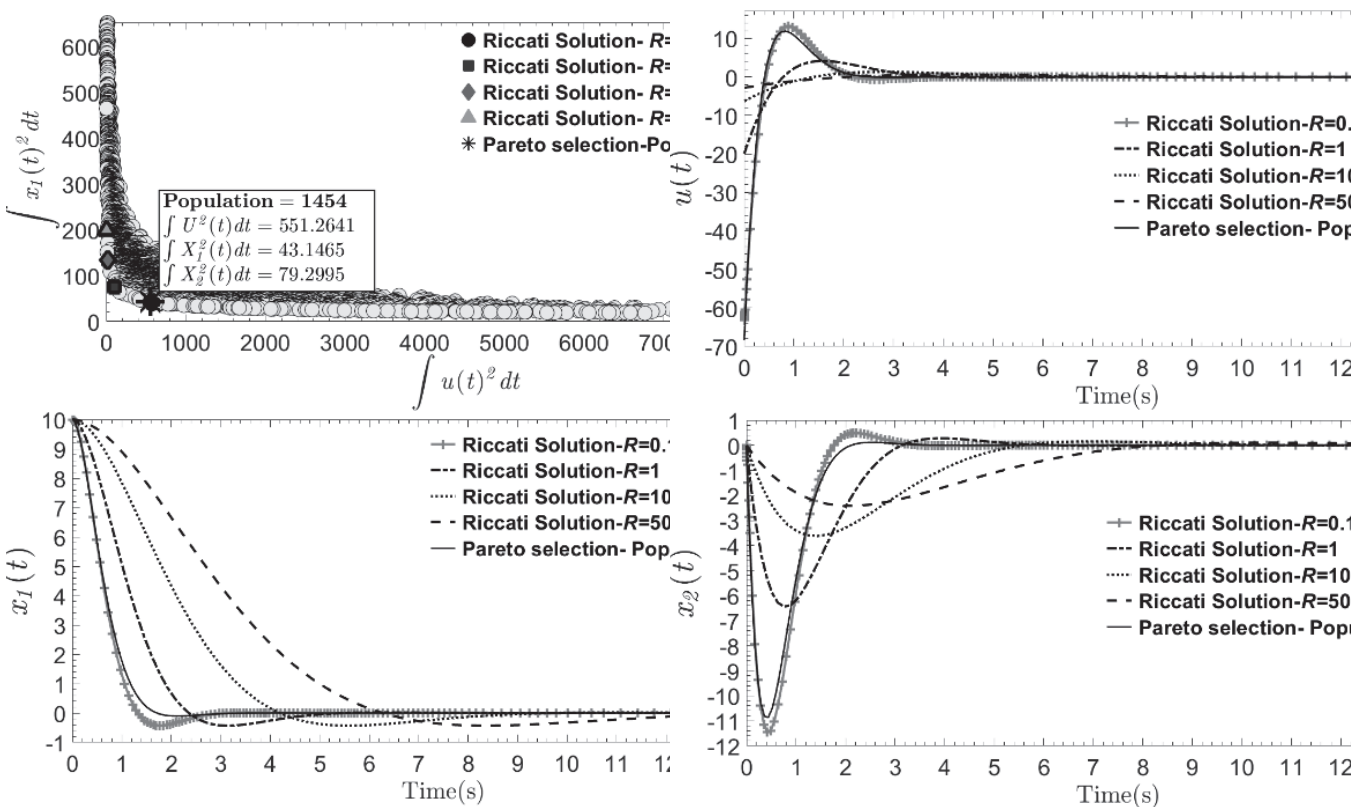
مشابه تحلیل تک‌هدفه، برنامه‌ریزی ژنتیکی پیشنهادی با ترمینال‌های $F=\{X_1, X_2 \text{ constat value}\}$ و عملگرهای محاسباتی $\{-, +, \times\}$ یک‌بندی و تا نسل ۲۰۰ اجرا می‌شود. بعد از اجرای الگوریتم، جمعیت‌های ۴ نسل نهایی همراه با برازنده‌گی‌شان در ماتریسی ذخیره می‌شود و جمعیت‌های آن با توجه به برازنده‌گی‌هایشان جبهه‌بندی می‌شوند. حاصل این جبهه‌بندی شامل ۳۴۰۴ نقطه غیربرتر (جهه اولی) می‌باشد. از آنجایی که مسئله بهینه‌سازی تک‌هدفه با استفاده از حل معادل ریکاتی، اولویت‌بندی بین تلاش کنترلی و مسیر متغیر حالت اولی بوده است، برازنده‌گی مجموعه نقاط غیربرتر به همراه برازنده‌گی‌های جواب‌های مسائل تک‌هدفه در صفحه پارتویی J_1 و J_2 شکل ۹ مقایسه و ترسیم می‌شوند.

هر یک از نقاط شکل ۹ نماینده یک سیگنال کنترلی بهینه می‌باشد و از آنجا که تحلیل تک‌هدفه مسئله مذکور شامل توابع J_1 و J_2 بوده است، مطابق انتظار موقعیت این جواب‌ها در صفحه J_1 و J_2 در مرز پایینی نقاط بهینه غیربرتر قرار گرفته است. یکی از موارد حائز اهمیت که با بررسی نقاط بهینه غیربرتر مشاهده گردید این است که ساختار تمامی جمعیت‌های این مجموعه به ساختار معادله (۴) همگرا شده‌اند. از آنجا که رابطه (۴) جواب دقیق برای مسائل کنترلی خطی ثابت با زمان محسوب می‌شود، مصادقی از اعتبار الگوریتم پیشنهادی در این مقاله می‌باشد. حال برای بررسی از کارایی



شکل ۸: تبدیل شاخص عملکرد خطی درجه دوم ثابت با زمان به معیارهای چندهدفه

Fig 8. Converting the single-objective index into the multi-objective criteria.



شکل ۱۰: انتخاب واحد شماره ۱۴۵۴ از بین ۳۴۰۴ نقاط غیربرتر در حدود شاخص عملکرد تک‌هدفه با ضریب وزنی $R=0.1$ و مقایسه پاسخ‌های زمانی آن‌ها

Fig 10. Selecting the sample point No. 1454 among the 3404 nondominant points around the single-objective point of $R=0.1$ and their transient responses comparison.

Table 2. Comparison of the criteria values of the sample No. 1454 among the 3404 nondominant points with the control signal obtained from the single-objective problem of $R=0.1$.

جدول ۲: مقایسه شاخص‌های واحد شماره ۱۴۵۴ از بین ۳۴۰۴ نقاط غیربرتر با شاخص‌های سیگنال کنترلی بدست آمده از مسئله تک‌هدفه با ضریب وزنی $R=0.1$

مسیر متغیر حالت دوم $(J_3 = \int_0^{15} X_2^2(t) dt)$	مسیر متغیر حالت اول $(J_2 = \int_0^{15} X_1^2(t) dt)$	تلاش کنترلی $(J_1 = \int_0^{15} u^2(t) dt)$	سیگنال کنترلی $(u(x))$	نقطه انتخابی
۸۱/۸۳۰۲	۴۲/۰۵۷۶	۵۵۷/۸۹۲۸	-۴/۱۶۴۳ X_1 -۶/۸۱۵۴ X_2	
۸۸/۸۹۸۰	۴۲/۱۷۹۵	۵۶۲/۸۹۷۸	-۳/۵۶۶ X_1 -۶/۳۲۴۶ X_2	معادله ریکاتی
PRE				$PRE = \frac{(J_{Riccati} - J_{Selected})}{J_{Riccati}} \times 100$
+۷/۷/۹۸	-۷/۰/۹۰	+۰/۰/۸۹		

سیستم کلاستر

برای اجرای برنامه‌های کامپیوتراً مربوط به روش‌های مدل‌سازی در این مقاله، از سیستم کلاستر آزمایشگاه پردازش موازی دانشکده فنی دانشگاه گیلان بهره گرفته شده است. این مجموعه شامل ۹ دستگاه کامپیوتر پرقدرت SMTP با مشخصه فنی زیر می‌باشد.

کارهای این مقاله جماعتاً با ۳۶ عدد کارگر متلب^۱ که از این مجموعه گرفته شده، اجرا شده است. جدول الف ۲ مقایسه‌ای از میانگین زمان محاسبه شاخص‌های برنامه‌های کنترل بهینه این کار در حالت‌های تک‌هدفه و چند‌هدفه به صورت تک سیستمی و کلاستر شده ارائه شده است.

ساختمان الگوریتم برنامه‌ریزی ژنتیکی در تولید جمعیت در هر نسل به گونه‌ای اصلاح شده است که افزایش دقت و همگرایی در جواب بهینه‌سازی تک‌هدفه و افزایش پراکندگی در جواب‌های بهینه‌سازی چند‌هدفه میسر گردید. با مقایسه جواب‌های بدست آمده از الگوریتم برنامه‌ریزی ژنتیکی پیشنهادی با جواب تحقیقات پیشین، نشان داده شد که پاسخ‌ها و تحلیل سیستم‌های کنترل بهینه از منظر طراحی بهینه، ارتقا می‌یابند.

ضمیمه الف:



شکل الف ۱: سیستم کلاستر آزمایشگاه پردازش موازی دانشکده فنی دانشگاه گیلان

Fig. A1. Parallel laboratory cluster at University of Guilan.

Table A1. Configuration of the parallel laboratory cluster presenting at the engineering department of University of Guilan.

جدول الف ۱: امشخصات فنی مجموعه کلاستر آزمایشگاه پردازش موازی دانشکده فنی دانشگاه گیلان

<ul style="list-style-type: none"> - سرور سوپر میکرو ایکس ال ۱۰ - دو عدد پردازنده اینتل زئون ایکس ۵۵۶۰ فرکانس ۲/۸ گیگاهرتز - دو عدد رم دو گیگابایت پی سی ۳ - دو عدد هارد اس آس فوجیتسو ۱۴۶ گیگابایت ۱۰ هزار دور بر دقیقه 	مشخصات کلاینت																
<ul style="list-style-type: none"> - سرور سوپر میکرو ایکس ال ۱۰ - دو عدد پردازنده اینتل زئون ای ۵۶۲۰ فرکانس ۲/۴ گیگاهرتز - دو عدد رم دو گیگابایت پی سی ۳ - یک عدد هارد ساتا وسترن دیجیتال ۵۰۰ گیگابایت ۵۴۰۰ دور بر دقیقه 	مشخصات گره‌ها																
<table border="1" style="width: 100%; border-collapse: collapse;"> <thead> <tr> <th style="padding: 2px;">شبکه</th> <th style="padding: 2px;">-</th> <th style="padding: 2px;">شبکه گیگابیتی</th> <th style="padding: 2px;">-</th> </tr> </thead> <tbody> <tr> <td style="padding: 2px;">سیستم عامل</td> <td style="padding: 2px;">-</td> <td style="padding: 2px;">ویندوز ۱۰ پرو</td> <td style="padding: 2px;">-</td> </tr> <tr> <td style="padding: 2px;">نرم افزار کلاستر</td> <td style="padding: 2px;">-</td> <td style="padding: 2px;">سرور پردازش گسترده متلب</td> <td style="padding: 2px;">-</td> </tr> <tr> <td style="padding: 2px;">نرم افزار محاسباتی</td> <td style="padding: 2px;">-</td> <td style="padding: 2px;">متلب</td> <td style="padding: 2px;">-</td> </tr> </tbody> </table>	شبکه	-	شبکه گیگابیتی	-	سیستم عامل	-	ویندوز ۱۰ پرو	-	نرم افزار کلاستر	-	سرور پردازش گسترده متلب	-	نرم افزار محاسباتی	-	متلب	-	
شبکه	-	شبکه گیگابیتی	-														
سیستم عامل	-	ویندوز ۱۰ پرو	-														
نرم افزار کلاستر	-	سرور پردازش گسترده متلب	-														
نرم افزار محاسباتی	-	متلب	-														

Table A2. Run-time evaluation of the single and multi objective criteria until the 200th generation for different computer configurations.

جدول الف ۲: زمان محاسبه شاخص‌های تک‌هدفه و چند‌هدفه تا نسل ۲۰۰ در سیستم‌های مختلف

مسئله کنترل بهینه هدفه ۳	مسئله کنترل بهینه تک‌هدفه	شبکه
۱۳:۰۴:۴۲	۰۲:۰۹:۴۸	سیستم خانگی ⁱ
۰۶:۰۱:۰۱	۰۱:۲۰:۱۳	سیستم دانشگاهی ⁱⁱ
۰۱:۳۶:۲۵	۰۰:۲۵:۲۲	یک گره از سیستم کلاستر
۰۰:۳۰:۱۶	۰۰:۱۲:۰۳	سیستم کلاستر (۳۶ عدد کارگر متلب ⁱⁱⁱ)

i Intel® Core™ 2 Duo CPU E7400 (2 logical processors)

ii Intel® Core™ i7 2.80GHz ۸۶۰ (8 Logical Processors)

iii Matlab Worker

منابع

- and prediction theory, *Transactions ASME J. Basic Eng.*, 83:95-107, (1961).
- [14] S. Bittanti, A.J. Laub, J.C. Willems, *The Riccati Equation*, Springer-Verlag, New York, NY, (1991).
- [15] C.-H. Hsiao, W.-J. Wang, Optimal control of linear time-varying systems via Haar wavelets, *Journal of optimization theory and applications*, 103(3) (1999) 641-655.
- [16] S. Radhoush, M. Samavat, M.A. Vali, Optimal control of linear time-varying systems using the Chebyshev wavelets (a comparative approach), *Systems Science & Control Engineering: An Open Access Journal*, 2(1) (2014) 691-698.
- [17] C.A. Coello, G.B. Lamont, V. Veldhuizen, *Evolutionary algorithms for solving multi-objective problems*, Springer, (second edition) (2007).
- [18] R. Sun, Q. Hong, G. Zhu, A novel optimal control method for impulsive-correction projectile based on particle swarm optimization, *Discrete Dynamics in Nature and Society*, 2016 (2016).
- [19] K.-F. Man, K.-S. Tang, S. Kwong, *Genetic algorithms: concepts and designs*, Springer Science & Business Media, 2012.
- [20] J.R. Koza, F.H. Bennett, D. Andre, M.A. Keane, F. Dunlap, Automated synthesis of analog electrical circuits by means of genetic programming, *IEEE Transactions on Evolutionary Computation*, 1(2) (1997) 109-128.
- [21] H. Assimi, A. Jamali, N. Nariman-Zadeh, Sizing and topology optimization of truss structures using genetic programming, *Swarm and Evolutionary Computation*, 37 (2017) 90-103.
- [22] R. A. Maher, M.J. Mohamed, An Enhanced Genetic Programming Algorithm for Optimal Controller Design,
- [1] D.P. Bertsekas, *Dynamic programming and optimal control*, Athena scientific 2005.
- [2] D. Liberzon, *Calculus of Variations and Optimal Control Theory: A Concise Introduction*, Princeton University Press, 2011.
- [3] F. Lewis, D. Vrabie, V. Syrmos, *Optimal control*, Wiley, Hoboken, NJ, 2012.
- [4] N. Wiener, *Cybernetics*, Wiley, New York, NY, (1948).
- [5] N. Wiener, *Extrapolation, Interpolation, and Smoothing of Stationary Time Series*, Technology Press, Cambridge, MA, (1949).
- [6] S. Dreyfus, Richard Bellman on the Birth of Dynamic Programming, *Operations Research*, 50 No. 1, (2002) 48-51.
- [7] R.E. Bellman, "On the Theory of Dynamic Programming, Proceedings of the National Academy of Sciences of the United States of America, 38 No.8, (1952) 716-719.
- [8] R.E. Bellman, *Dynamic Programming*, Sixth Edition, Princeton University Press, New Jersey, (1957).
- [9] V. G. Boltyanskii, R. V. Gamkrelidze, L.S. Pontryagin, On the theory of optimal processes, *Dokl. Akad. Nauk SSSR*, 110:7-10, (1956).
- [10] L. S. Pontryagin, V. G. Boltyanskii, R. V. Gamkrelidze, E.F. Mishchenko, *The Mathematical Theory of Optimal Processes*, Wiley-Interscience, New York, NY, (1962).
- [11] R.E. Kalman, A new approach to linear filtering in prediction problems, *ASME Journal of Basic Engineering*, 82:34-45, (1960).
- [12] R.E. Kalman, Contributions to the theory of optimal control, *Bol. Soc. Mat. Mexicana*, 5(2) (1960) 102-119.
- [13] R.E. Kalman, R.S. Bucy, New results in linear filtering

- [25] W. Kim, S.W. Jeon, Y. Kim, Model-based multi-objective optimal control of a VRF (variable refrigerant flow) combined system with DOAS (dedicated outdoor air system) using genetic algorithm under heating conditions, *Energy*, 107 (2016) 196-204.
- [26] Y.H. Sardahi, Multi-objective optimal design of control systems, UC Merced, 2016.
- [27] J.R. Koza, *Genetic Programming II Videotape: The Next Generation*, MIT Press Cambridge, MA, 1994.
- [28] D.E. Kirk, *Optimal Control Theory*, United Kingdom, in, Dover Publications, 2004.
- Intelligent Control and Automation, 9 (2013) 94-101.
- [23] A. Jamali, E. Khaleghi, I. Gholaminezhad, N. Nariman-zadeh, Modelling and prediction of complex non-linear processes by using Pareto multi-objective genetic programming, *International Journal of Systems Science*, 47(7) (2016) 1675-1688.
- [24] I. Gholaminezhad, A. Jamali, H. Assimi, Automated synthesis of optimal controller using multi-objective genetic programming for two-mass-spring system, in: *Robotics and Mechatronics (ICRoM)*, 2014 Second RSI/ISM International Conference on, 2014, pp. 041-046.